

## HPF処理系における再分散解析機能の開発

佐藤 真琴 根岸 清\* 小林 篤\*\*

(株) 日立製作所システム開発研究所

\* (株) 日立製作所ソフトウェア開発本部

\*\*日立東北ソフトウェア (株)

### 概要

HPF 1.0の仕様を満たすデータ再分散指示文に対するデータ再分散解析機能を提案し、我々のHPF処理系に実装した。これは3つのデータフロー解析による到達する分散定義解析と分散形状の伝播からなる。また、アロケータブル配列への属性変更を基本とする再分散コード生成を実現し、再分散コード改良方式を提案した。NASベンチマークのFFTプログラムに対し、本解析の有効性と改良コードによる30%の性能向上を確認した。

## Development of Remapping Analysis in HPF Compiler

Makoto Sato Kiyoshi Negishi\* Atsushi Kobayashi\*\*

Hitachi,Ltd. Systems Development Laboratory

\*Hitachi,Ltd. Software Development Center

\*\*Hitachi Tohoku Software, Ltd.

### Abstract

Remapping analysis for remapping directives satisfying HPF 1.0 specifications is proposed and implemented in our HPF compiler. It consists of reaching distribution analysis using three data flow analyses, and distribution shape propagation. The efficient remapping code generation that changes remapped array attributes into allocatable in principle is also implemented. Moreover, improved remapping codes are proposed to remove redundancies. The evaluation result for remapping codes to NAS/FT program indicates that remapping analysis is effective and improved codes decrease the execution time by 30 percent.

### 1 はじめに

高速計算のニーズは益々高まっており、超並列機に対する期待が大きい。一方、従来、超並列機の普及を妨げていたプログラミングの困難さは、HPF(High Performance Fortran)[1]という、Fortranの並列向け拡張仕様により緩和されつつある。HPFや類似の言語に対するコンパイラは活発に研究され[2][4][10][11][12]、多くの商用HPFコンパイラもある[5][6][7][8][9]。

HPFには、プログラムの途中でデータを動的に分散できるデータ再分散指示文がある。これはADIやFFTのようなデータ依存の方向が実行途中で変化するプログラムで使われることがある。

HPF処理系は、データ再分散指示文を含むプログラムを効果的に並列化／最適化するため、プログラム中の任意位置でのデータ分散の方法（以後、データ分散形状と呼ぶ）を知る必要がある。

我々は、我々のHPF処理系で、プログラム中の任意位置でのデータ分散形状を並列化時に決定する、データ再分散解析機能を実現した。他にこれを実現したコンパイラは見当たらない。

関連研究では、実行時情報に基づいてデータ再分散するもの[8]、手続き間コンパイルする時、各手続き呼び出し位置での実引数の静的な分散形状を知るreaching decomposition analysis[3][4]がある。

## 2 データ再分散指示とUAT

### 2.1 データ再分散指示

再分散指示には、変数の分散方法を変える再分割指示文（`redistribute`）と、ある変数と別の変数との整列方法を変える再整列指示文（`realign`）がある[1]。

例 再分散指示の例を下記と図1に示す。

(a) `!hpfs redistribute x(*,block(n)) onto p`

ここで、x : 分散される変数。distributeeと呼ぶ。  
p : プロセッサの配置を表わす配列。  
`block(n)` : 連続n要素単位の分割。

(b) `!hpfs realign y(i,j) with x(i+1,j+1)`

ここで、y : 整列する配列。aligneeと呼ぶ。  
x : 整列される配列。align-targetと呼ぶ。

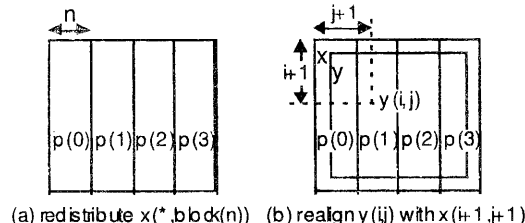


図1 再分割と再整列

### 2.2 UAT

再分散解析で、HPF規定に従って再分散指示を正しく解釈するために、次のUATが重要となる。

#### 定義1 alignee x の最終align-target (UAT)

$\Leftrightarrow$ xのalign-target y, if yが他に整列しない  
xのalign-target yのUAT, if yが他に整列する

例 xがy、yがzに整列し、zが他に整列しなければ、zはx、yのUATである。

#### HPF規定

K1 : [再]分割指示文のdistributeeは[再]整列指示文のaligneeになれず、[再]整列指示文のaligneeは[再]分割指示文のdistributeeになれない。

K2 : 再整列指示文はaligneeのみ分散し、これに整列する他の変数の分散形状は変えない。

K3 : 再分割指示文はそのdistributeeをUATとする変数も再分散する。

K1より、一手続き内の分散変数は、ある指示文のdistributeeかaligneeの一方になる。以後、分散変

数をこの分類に従い、指示文とは独立に、單に、distributee、aligneeと呼ぶ。

aligneeとalign-target（またはUAT）をノードとし、両ノードをこの順に向き付けしたエッジで接続すると、有向グラフになる。これを整列（またはUAT）グラフと呼ぶ。

図2は整列グラフとこれをUATグラフに変換した例である。この図で、zが他の変数wに再整列しても、K2より、x、yのUATはuのままである。したがって、整列グラフでは解釈を間違うおそれがある。また、uを再分割すると、K3より、uをUATとするx、y、zも再分散される。よって、再分散指示の解釈ではUATが重要である。



図2 整列グラフとUATグラフ

図3は例題プログラムである。S1～S4は手続き入口での分散指示文、S5～S7は再分散指示文である。図4は図3のプログラムのフローラグフである。BB1～BB3は基本ブロックを表わす。E1～E3、O1～O3は各々、BB1～BB3の入口と出口である。図5は、図4のフローラグフ中の主な位置での、x, yとt1, t2とのUATグラフである。

```
S1: !hpfs distribute t1(block)
S2: !hpfs distribute t2(cyclic)
S3: !hpfs align x with t1
S4: !hpfs align y with x
  :
  if (...) then
S5: !hpfs realign x with t2
  endif
  :
S6: !hpfs realign y with x
  :
S7: !hpfs redistribute t2(block)
```

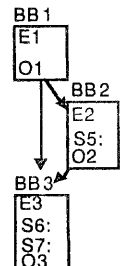


図3 例題プログラム

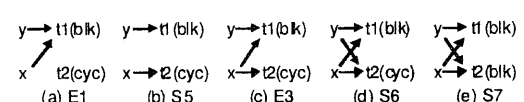


図4 フローラグフ

blk : block分割、cyc : cyclic分割

図5 UATグラフ

### 3 データ再分散解析

#### 3.1 解析アルゴリズム

H P F では、allocate時のdistributeeの分散形状やaligneeのUATは、プログラム入口での分散形状やUATと同じ、と規定している。よって、分散形状は手続き入口、再分散指示文、allocate文で変化する可能性がある。これらを再分散位置と呼ぶ。

##### \* 到達する分散定義解析 \*/

- (1) 基本ブロック入口に到達する分散定義を求める
    - (1 a) UAT解析
    - (1 b) 到達する整列定義解析
    - (1 c) 到達する分散定義解析
  - (2) 再分散位置に到達するデータ分散定義を求める
- \* 分散形状の決定 \*/
- (3) 再分散位置へ分散形状を伝播させる
  - (4) 任意位置での変数の分散形状を求める

図 6 データ再分散解析アルゴリズム

図 6 はデータ再分散解析アルゴリズムである。到達する分散定義解析と分散形状の決定から成る。

- (1) は、基本ブロック入口に到達するビット集合を、繰返しアルゴリズム[13]で決定する。  
(1a)は基本ブロック入口でaligneeのUATを決定する。  
(1b), (1c)は基本ブロック入口に到達する、aligneeのalignee-targetが変化する直前の位置、及び変数の分散形状が変化する直前の位置を決定する。
- (2) は、(1)の結果に基本ブロック内の再分散指示文やallocate文による変更を順次加えて、再分散位置でのビット集合を決定する。
- (3) は、(2)の結果から、再分散位置で分散形状の変化する変数の分散形状を決定する。
- (4) は、(3)の結果から、任意位置での分散形状を決定する。

#### 3.2 到達する分散定義解析

本節では3つのデータフロー方程式系と、それに関連するデータフロー情報集合を説明する。

#### 定義 2

- (1) VARS : 変数を表わす集合。
- (2) LOCS : 再分散位置を表わす集合。
- (3) nl : LOCSの要素数。
- (4) nv : VARSの要素数。
- (5) B(m, n) : 要素が0か1のm行n列の行列。

3 方程式のデータフロー情報集合U、A、Dは、各々2次元のビット集合である：

$$U \subset B(nv, nv); A, D \subset B(nv, nl)$$

Uは、要素 (alignee, aligneeのUAT) のみが1となる集合であり、UATグラフを表現する。

A、Dは、各々、要素 (alignee, aligneeの到達する整列定義位置)、要素 (変数、変数の到達する分散定義位置) のみが1となる集合である。

図 7 は図 6 の(1a), (1b), (1c)に対するデータフロー方程式である。ここで、\*を任意の記号とすると、

$$U_* \subset B(nv, nv); A_*, D_* \subset B(nv, nl)$$

また、U\_IN, U\_OUTは、基本ブロック入口、出口でのUを表わす。A、Dについても同様である。その他の記号は以下で定義する。

#### 定義 3

- (1) AL : 全aligneeからなる集合。
- (2) DI : 全distributeeからなる集合。
- (3) L(v) : 手続き入口 U allocate位置 U alignee(distributee) vの再整列 (再分割) 指示位置。
- (4) S[n] : 基本ブロック n 中の文からなる集合。
- (5) pred[n] : nに分岐する全基本ブロック
- (6) last(v,n) : alignee(distributee) vの n における最後の再整列 (再分割) 位置。
- (7) plural(v,d,n) : n外にあり、そこでのvのUATが唯一でないか、dでない、LOCSの部分集合。

$$\begin{aligned} (1) U_{\text{PRE}}[n] &= \{(v, *) | v \in DI \text{ or } v \in NA(n)\} \\ U_A[n](x) &= \{(v, w) | v \in CA(n), a = iuat(v, n) \in AL, (a, w) \in x\} \\ U_D[n] &= \{(v, d) | v \in CA(n), d = iuat(v, n) \in DI\} \\ (2) U_{\text{OUT}}[n] &= (U_{\text{IN}}[n] \cap U_{\text{PRE}}[n]) \cup U_A[n](U_{\text{IN}}[n]) \cup U_D[n] \\ U_{\text{IN}}[n] &= \bigcup_{p: pred[n]} U_{\text{OUT}}[p] \end{aligned}$$

(a) UAT 解析

$$\begin{aligned} (1) A_{\text{PRE}}[n] &= \{(v, *) | v \in NA(n)\} \\ A_{\text{DEF}}[n] &= \{(v, las(v, n)) | v \in CA(n)\} \\ (2) A_{\text{OUT}}[n] &= (A_{\text{IN}}[n] \cap A_{\text{PRE}}[n]) \cup A_{\text{DEF}}[n] \\ A_{\text{N}}[n] &= U_{\text{A\_OUT}}[p] \end{aligned}$$

(b) 到達する整列定義解析

$$\begin{aligned} (1) D_{\text{PRE}}[n](x) &= D_{\text{NoD}}[n] \cup D_{\text{NoA}}[n](x) \cup D_{\text{PL}}[n](x) \\ D_{\text{NoD}}[n] &= \{(v, *) | v \in ND(n)\} \\ D_{\text{NoA}}[n](x) &= \{(v, *) | v \in NA(n), (v, d) \cap x = \emptyset \text{ for all } d \in CD(n)\} \\ D_{\text{PL}}[n](x) &= \{(v, plural(v, d, n)) | \\ &\quad v \in NA(n), \exists d \in CD(n), s.t. (v, d) \in x\} \\ D_{\text{DEF}}[n](x) &= \{(v, l) | l = las(v, n) \text{ if } L(v) \cap S[n] \neq \emptyset; l = las(d, n) \\ &\quad \text{if } L(v) \cap S[n] = \emptyset, \exists d \in CD(n), s.t. (v, d) \in x\} \\ (2) D_{\text{OUT}}[n] &= (D_{\text{IN}}[n] \cap D_{\text{PRE}}[n](U_{\text{IN}}[n])) \cup D_{\text{DEF}}[n](U_{\text{IN}}[n]) \\ D_{\text{IN}}[n] &= \bigcup_{p: pred[n]} D_{\text{OUT}}[p] \end{aligned}$$

(c) 到達する分散定義解析

(1) データフロー情報集合、(2) データフロー方程式、\* : 任意の要素

図 7 データフロー方程式

- (8)  $N A(n) := \{ v \in A \mid L(v) \cap S[n] = \emptyset \}$   
(9)  $C A(n) := \{ v \in A \mid L(v) \cap S[n] \neq \emptyset \}$   
(10)  $N D(n) := \{ v \in D \mid L(v) \cap S[n] = \emptyset \}$   
(11)  $C D(n) := \{ v \in D \mid L(v) \cap S[n] \neq \emptyset \}$

図 7 を説明するために以下の定義をする。

**定義 4**  $n$ における $v$ の局所UAT :  $luat(v,n)$   
 $\Leftrightarrow n$ 中の再整列指示文のみによって決定される、  
 $n$ の出口における $v$ のUAT。

次は定義より明らかである。

**補題 1**  $UAT_n(v,n), UAT_{out}(v,n)$ を、基本ブロック $n$ の入口、出口における $v$ のUATとすると、

$$UAT_{out}(v,n) = UAT_n(luat(v,n),n)$$

#### 図 7 の説明

(a)  $U\_OUT[n]$ は全ての変数 $v$ に対する( $v, UAT_{out}(v,n)$ )の和集合である。 $v$ がaligneeかつ、そのUATが $n$ で変化する(即ち、 $v \in C A(n)$ )なら、補題 1 より、 $d = luat(v,n)$ とすると、 $(v, UAT_{out}(v,n)) = (v, UAT_n(d,n))$ となる。 $d$ がaligneeなら、 $UAT_n(d,n) = \{w \in VARS \mid (d,w) \in U\_IN[n]\}$ 。 $d$ がdistributeeなら、 $UAT_n(d,n) = \{d\}$ 。両者は $U\_A, U\_D$ に対応する。

(b)  $v$ がaligneeかつそのUATが $n$ で変わる時の $v$ の $A\_OUT$ は変わる。これは $A\_DEF$ に対応する。

(c)  $v$ の分散形状が $n$ で不变ならば $v$ に対する $D\_IN$ の値は不变である( $D\_NoD, D\_NoA$ に対応)。 $v$ がaligneeかつそのUAT $d$ が $n$ で不变だが、 $d$ の分散形状は $n$ で変わると仮定する。もし $(v, loc) \in D\_IN$ となる位置 $loc$ で $v$ のUATが複数なら、 $(v, loc)$ は $n$ で保存される( $D\_PL$ に対応)。

t1	t2	x	y	E1	E2	E3	O1	O2	O3
[1 0 0 0]	[0 0 0 0]	[1 0 0 0]	[1 0 0 0]	[1 0 0 0]	[0 0 0 0]	[1 0 0 0]	[1 0 0 0]	[1 0 0 0]	[0 0 0 0]
[0 1 0 0]	[0 0 0 0]	[0 0 0 0]	[1 0 0 0]	[0 1 0 0]	[0 0 0 0]	[1 1 0 0]	[1 0 0 0]	[1 0 0 0]	[1 0 0 0]
[1 1 0 0]	[1 0 0 0]	[1 0 0 0]	[1 0 0 0]	[1 0 0 0]	[1 0 0 0]	[1 1 0 0]	[1 1 0 0]	[1 0 1 0]	[1 0 1 0]
U	A	D	U	A	D	U	A	D	D

図 9 再分散指示位置での情報集合

図 8、図 9 は図 3 のプログラムに対する、基本ブロック入口・出口、及び再分散指示位置でのデータフロー情報集合である。本プログラムはループがないので、BB1, BB2, BB3 の順に解析すれば繰り返し処理はなく、1 回で終了する。両図はこの順で解析した結果である。

### 3.3 分散形状の伝播と決定

#### 3.3.1 分散形状の伝播

データ分散形状は、UATへのalign方法を表すalignment情報と、UATの分割種別を表すdistribution情報から決まる。本方法では、後者を格納するテーブル(**DistTbl**)と前者を格納するテーブル(**AlgnTbl**)を作り、AlgnTblはそのUATのDistTblを指すことでデータ分散形状を表現する。両テーブルはトランスレート時にのみ用いる。

DistTblは再分割指示位置のdistribution情報から作る。一方、AlgnTblは再整列指示位置のalignment情報と、この再整列指示位置に到達する分散定義等の位置におけるDistTblやAlgnTblから作る。

図 10(a)は再整列指示位置 S 5、S 6 における AlgnTblである。以下のように作成する。

S 5 align-target  $t_2$  に到達する分散定義は図 9(a)のDより E 1 である。 $t_2$  はdistributeeなので、S 5 の整列情報のみから AlgnTbl を作成し、これは E 1 における  $t_2$  の DistTbl を指すようにする。

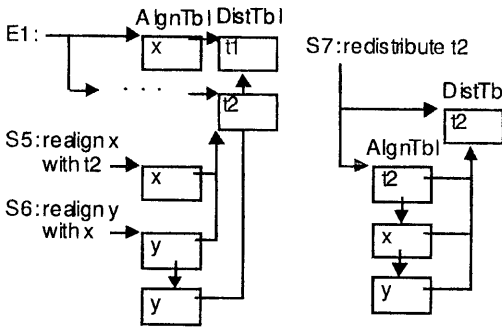
S 6 align-target x の到達する分散定義は、図 9(b)のDより E 1 または S 5 である。E 1 (S 5) における x の AlgnTbl は上で作成済みなので、この整列情報と S 6 の整列情報を合成して AlgnTbl を作る。これは E 1 (S 5) での x の AlgnTbl と同じ DistTbl を指すようにする。

t1	t2	x	y	E1	E2	E3	O1	O2	O3
[1 0 0 0]	[0 0 0 0]	[1 0 0 0]	[1 0 0 0]	[1 0 0 0]	[0 0 0 0]	[1 0 0 0]	[1 0 0 0]	[1 0 0 0]	[0 0 0 0]
[0 1 0 0]	[0 0 0 0]	[0 0 0 0]	[1 0 0 0]	[0 1 0 0]	[0 0 0 0]	[1 1 0 0]	[1 0 0 0]	[1 0 0 0]	[1 0 0 0]
[1 1 0 0]	[1 0 0 0]	[1 0 0 0]	[1 0 0 0]	[1 0 0 0]	[1 0 0 0]	[1 1 0 0]	[1 1 0 0]	[1 0 1 0]	[1 0 1 0]
U	A	D	U	A	D	U	A	D	D

図 8 基本ブロック入口・出口での情報集合

図 10(b)は再整列指示位置 S 7におけるDistTblとAlignTblである。以下のように作成する。

**S 7** まず、t2からt2自身へのnatural templateに対するAlignTblを作成する。次に、t2をUATとするaligneeは、図 11(c)のUより、x、yとわかる(t2は除く)。x(またはy)の到達する整列定義は図 9(c)のAよりE 1, S 5(またはS 6)であり、これらの位置でのx(またはy)のUATは図 8(a)、図 9(a)のUよりt1、t2(又はt1とt2)なので、S 5(またはS 6)がx(またはy)がt2に再整列する位置となる。S 5(またはS 6)でのx(またはy)のAlignTblは図 10(a)で作成済みなので、それとS 7のDistTblから、S 7でのAlignTblを作成する。両者はS 7のDistTblを指す。



(a) 再整列指示位置 (b) 再分割指示位置  
図 10 AlignTblの作成

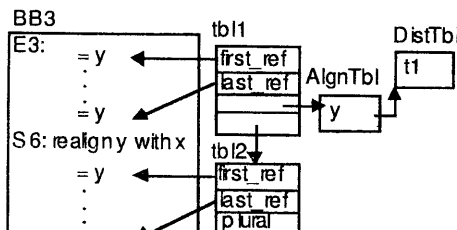


図 11 分散形状テーブル

### 3.3.2 分散形状の決定

変数毎に、基本ブロック内で分散形状が不変な範囲に一つずつ、分散形状テーブルを作成する。このテーブルはこの範囲の分散形状を表すAlignTblと、この範囲内の最初と最後の変数の参照点を指す。与えられた参照点が範囲内にあるかを判定することで、参照点での分散形状が得られる。

図 11 は基本ブロックBB3におけるyの分散形状

テーブルtbl 1、tbl 2を示す。E 3とS 6の間では、yの分散形状は図 5(c)より唯一に定まるので、tbl 1は唯一のAlignTblを指す。S 6—S 7間では、yのAlignTblは図 10(a)のS 6が表すように2つなので、tbl 2は分散形状が一意でないことを表すpluralという領域を指す。

## 4 データ再分散コード生成

### 4.1 変数属性の変更

再分散配列の属性はアロケータブル配列かポインタ配列に変更すべきである。配列要素数がPE数やblock長で割れない場合、再分散前後で、1PE当たりの要素数が変わることがあるからである。

本処理系では再分散配列の属性は、原則的にアロケータブル配列にした。生成プログラムをコンパイルする際、ポインタ配列では最適化しにくいためである。

```
real :: a(100)
!hp$ processors p(4)
!hp$ dynamic a
:
!hp$ redistribute
a(cyclic) onto p
[構造体Tの各成分の値設定]
allocate(t(T%l:T%u))
call remap(a,A,t,T)
deallocate(a)
A=T
R1: allocate(a(A%l:A%u))
R2: a=t
R3: deallocate(t)
```

入力プログラム   出力プログラム

図 12 再分散コード

### 4.2 データ再分散コード

- 次の3つの場合に再分散コードを生成する。
- (1)手書き入口で仮引数に対して分散指示がある
  - (2)再分散指示位置
  - (3)実引数の分散形状とインターフェースブロックで記述(descriptive) [1]の形で宣言された分散形状が異なる

図 12 は(2)の、再分散指示に対する再分散コードである。ここで、remap(a, A, t, T)は、構造体Aが表わす分散形状を持つ配列aを、構造体Tが表わす分散形状に再分散した結果を、配列 t へ格納することを表す。

### 4.3 データ再分散コード改良方式

図 12 の出力プログラムは冗長性をもつ。aがポインタ配列ならR1, R2, R3は"a=>t"となり、高速

に実行されるはずである。このため、allocatable配列にポインタ代入に似た処理を行う非Fortranルーチンrenameを導入する。

rename(x, y)は、yの先頭アドレスをxの先頭アドレスに等しくし、xを未割付状態、yを割付状態にする。データフロー解析では、この関数に対しR1, R2, R3があるかのごとく解析すればよく、ポインタのようなエリアスの問題は発生しない。

## 5 評価結果

表1と図13は、SR2201でNASベンチマークのFFTプログラムを、配列サイズ $64^3$ で実行した結果である。主要ループを含む同じサブルーチン3つをインライン展開し、最初のループ前後に再分散指示を挿入した。

表1 NAS/FTの実行結果

	1	2	4
ra	1	0.64	0.35
opt-ra	0.71	0.43	0.25
non-r	0.68	>11	

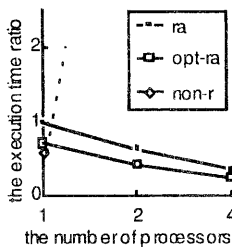


図13 NAS/FTの実行結果グラフ

raは4.2節のコードを、opt\_raは4.3節の改良コードを用いた。後者は前者のトランスレート結果を手で修正した。non\_rは再分散指示を挿入しない場合である。比opt\_ra/raは、1, 2, 4台に対し、0.71, 0.68, 0.7である。

## 6 おわりに

- H P F 1.0仕様の再分散指示文をトランスレート時に解析する再分散解析法を提案し、我々のH P F処理系に実装した。
- 生成プログラムのコンパイル時の最適化促進のため、分散配列属性を基本的にアロケータブルにした。また、生成コード改良方式を提案した。
- N A S ベンチマークのF Tに対し再分散解析と改良コードの有効性を確認した。改良コードは改良前コードに対し実行時間を30%短縮した。

## 謝辞

本研究にご協力いただいた、日立製作所ソフトウェア開発本部の吉川聰氏、西谷康仁氏、中島恵氏、会田一弘氏、布広永示氏、日立東北ソフトウェアの黒沢隆氏、浦川純一氏、日立製作所システム開発研究所の飯塚孝好氏、佐藤茂久氏、菊池純男氏、十山圭介氏に、感謝します。

## 参考文献

- [1]High Performance Fortran Language Specification, ver.1.0, CRPC, Rice Univ., Jan. 1993
- [2]S.Hiranandani et al. Evaluating of Compiler Optimizations for Fortran D, J. of Parallel and Distributed Computing, 21, pp.27-45, 1994.
- [3]M.W. Hall et al. Interprocedural Compilation of Fortran D for MIMD Distributed-Memory Machines, Supercomputing '92, pp. 522-534, 1992.
- [4]B. Chapman et al. Dynamic Data Distribution In Vienna Fortran, Supercomputing 93, pp. 284-293, 1993.
- [5]J. Levesque. Using High Performance Fortran on the Intel Paragon, Intel Users Group Meeting, May 1994.
- [6]R. Babb et al. Retargetable High Performance Fortran Compiler Challenges, COMPCON 93, pp.137-146, 1993.
- [7]M.Gupta et al. An HPF Compiler for the IBM SP2, CPC95, pp. 22-39, June, 1995.
- [8]蒲池他. HPF処理系の実現とCenju-3での評価, JSPP'95, May, 1995.
- [9]進藤他. FLops: 分散メモリ型並列計算機を対象とした並列化コンパイラ, JSPP'95, May, 1995.
- [10]Bozkus.Z et al. Compiling Fortran 90D/HPF for Distributed Memory MIMD Computers, J. of Parallel and Distributed Computing, 21, pp.15-26, 1994.
- [11]E. Su et al. Advanced Compilation Techniques in the PARADIGM Compiler for Distributed-Memory Multicomputers, ICS95, pp. 424-433, July 1995.
- [12]T. Brandes. Optimization Strategies within the High Performance Fortran Compilation System ADAPTOR, CPC95, pp. 49-64, June, 1995.
- [13]H.Zima et al. Supercompilers for Parallel and Vector Computers, Addison-Wesley, 1991.